

Transparents TIPE 2006
Description et modélisation des tsunamis

Emmanuel Branlard
`emmanuel.branlard@supaero.fr`

Le 12 Juillet 2006

Description et modélisation des tsunamis

I. Description du phénomène de tsunami

I.1. Définition et caractéristiques

I.4. Equation caractéristique

II. Modélisation de la propagation sur des grandes distances

II.1. Modélisation du fond océanique

II.2. Modèle de propagation rectiligne

II.3. Modèle selon le principe d'Huygens

III. Théorie plus élaborée - Différences finies

III.1. Système d'équation - Korteweg de Vries

III.2. Méthodes des éléments finis

IV. Relation Magnitude/Hauteur initiale grâce à l'Energie

IV.1. Énergie disponible

IV.2. Relation Magnitude - Hauteur initiale

I.1. Définition et caractéristiques

Caractéristiques :

	Vagues dues au vent	Vague de tsunamis
➤ Longueur d'onde	100 à 200 m	10 à 500 km
➤ Vitesse	35 km/h	30 à 800 km/h.

Important :

➤ Quelques minutes avant l'arrivée du tsunami :

- Les vagues deviennent plus importantes
- La mer se retire étrangement

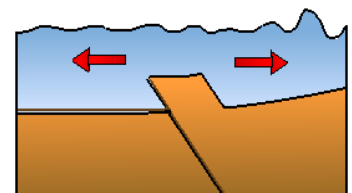
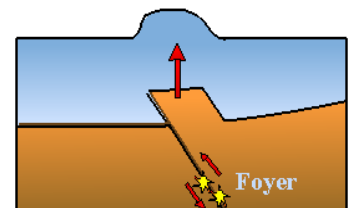
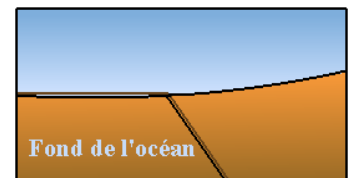
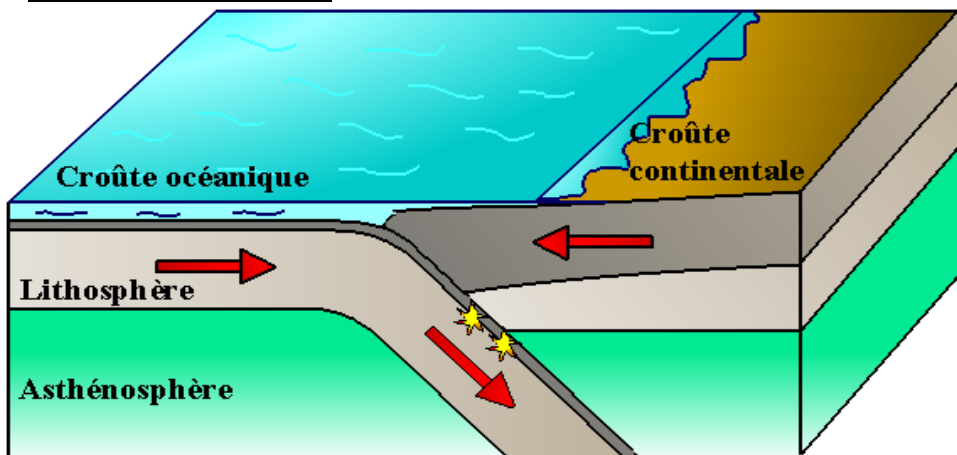
↪ **Fuir vers les hauteurs !**

➤ Il ne faut pas confondre **Tsunami** et **raz de marée**

Origines des tsunamis :

- **Tremblements de terre (85%)**
- Éruptions volcaniques sous-marines
- Glissements de terrains
- Chutes de météorites
- Explosions nucléaires

La subduction



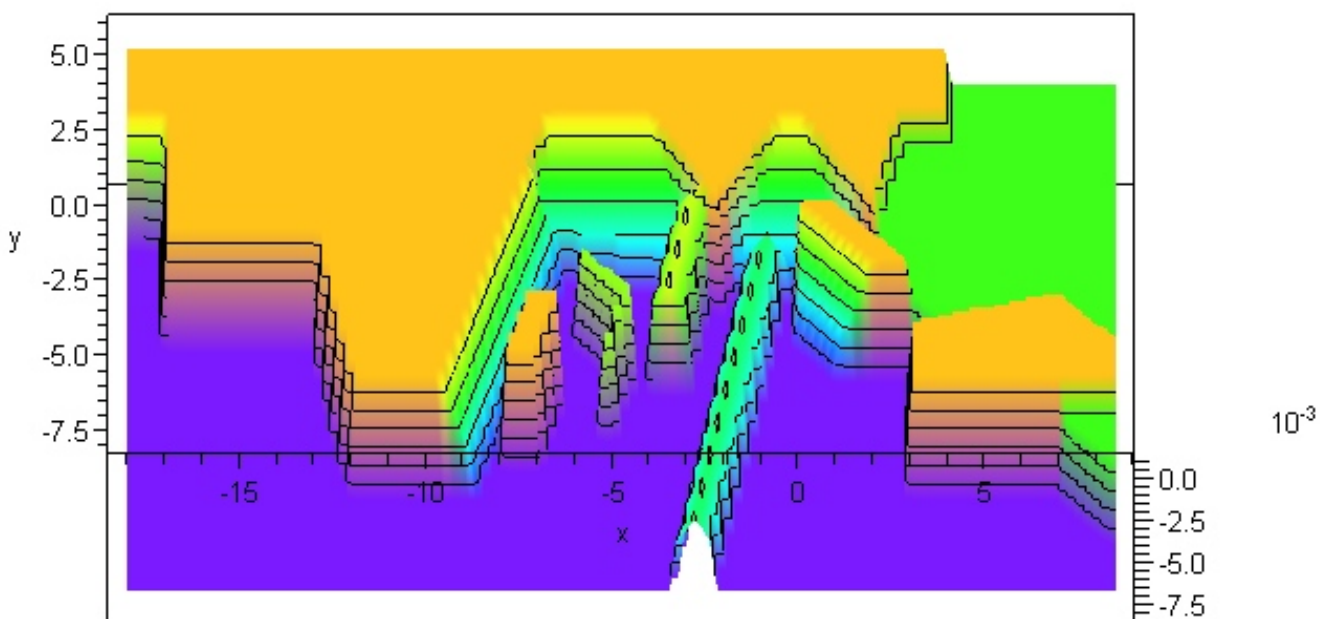
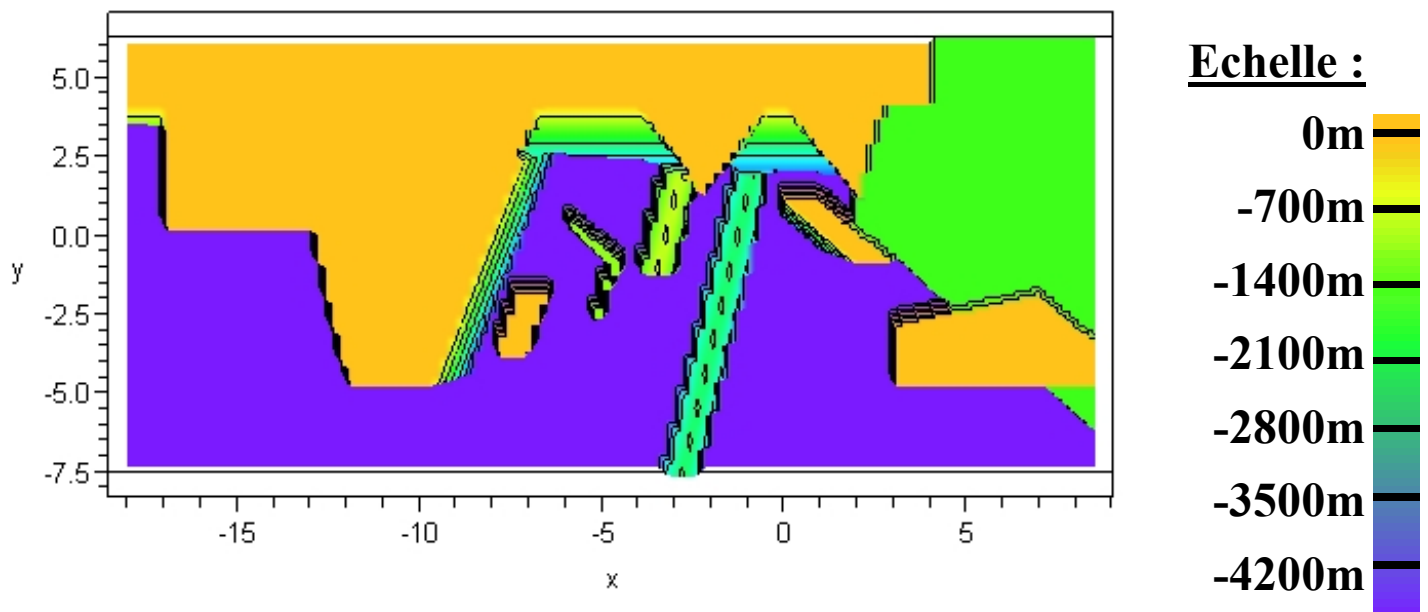
Les séismes « tsunamigènes »

I.4. Equation caractéristique

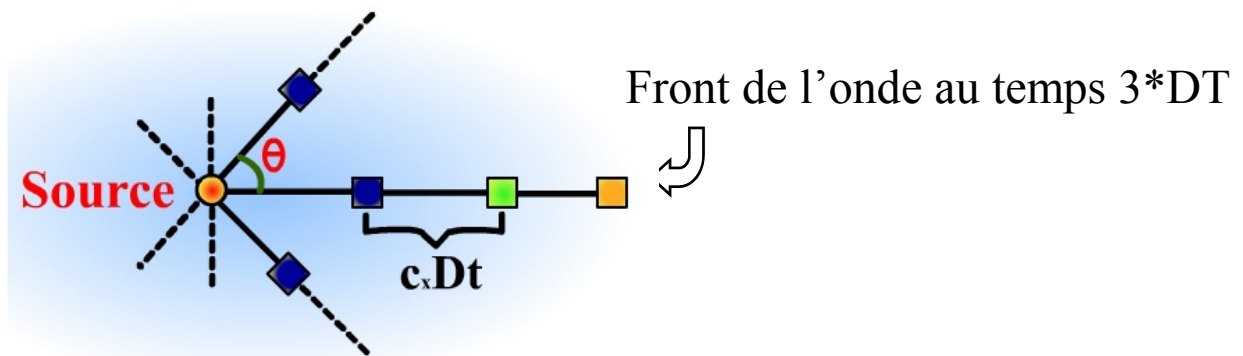
$$\boxed{\omega^2 = gk \operatorname{th}(kh)} \Rightarrow c = \frac{\omega}{k} = \sqrt{\frac{g}{k} \operatorname{th}(kh)} = \sqrt{\frac{g\lambda}{2\pi} \operatorname{th}\left(\frac{2\pi h}{\lambda}\right)} \Rightarrow \boxed{c = \sqrt{gh}}$$

II. Modélisation de la propagation sur des grandes distances

II.1. Modélisation du fond océanique



II.2. Modèle de propagation rectiligne

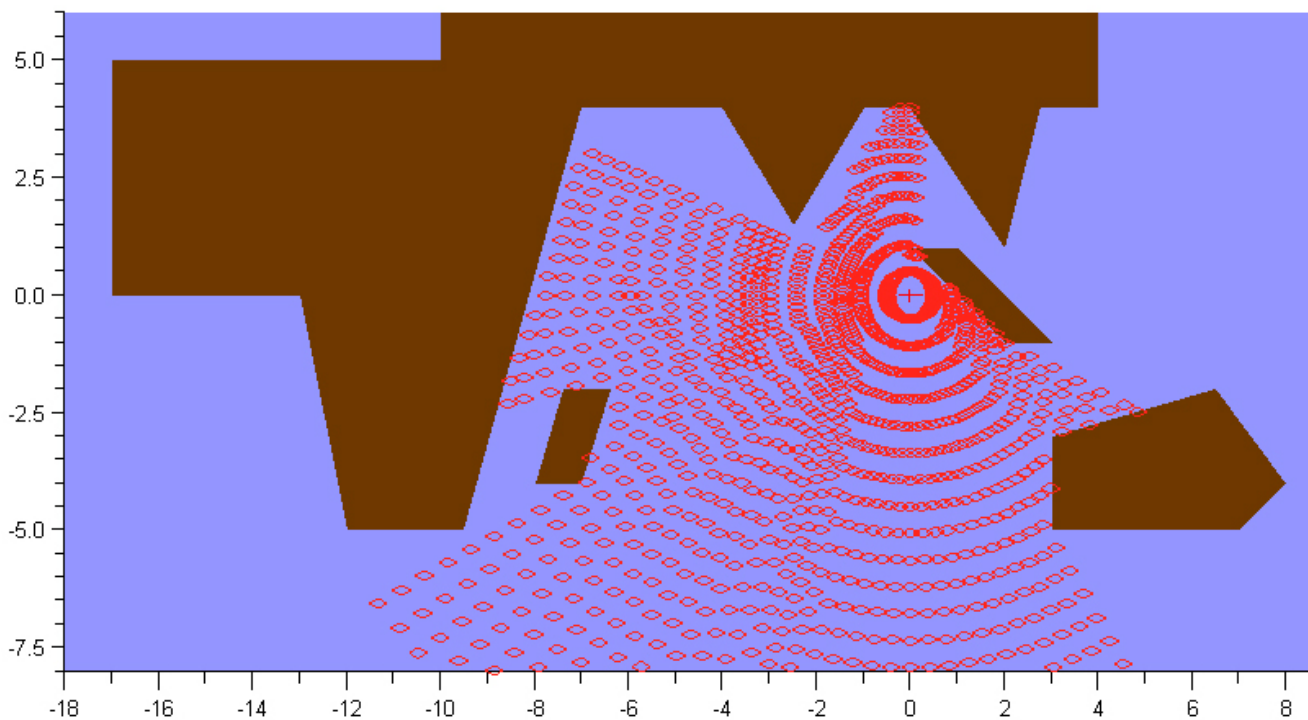


Résultats :

Une source	$\theta = \pi/60$	$\Delta t = 1800$ s	Profondeur = $24 \cdot \Delta t$
------------	-------------------	---------------------	----------------------------------

Code : `affiche(modele_1(x0 , y0 , 1800 , Pi/60, 24 ,red ,1 ,false),Xmin,Xmax,Ymin,Ymax);`

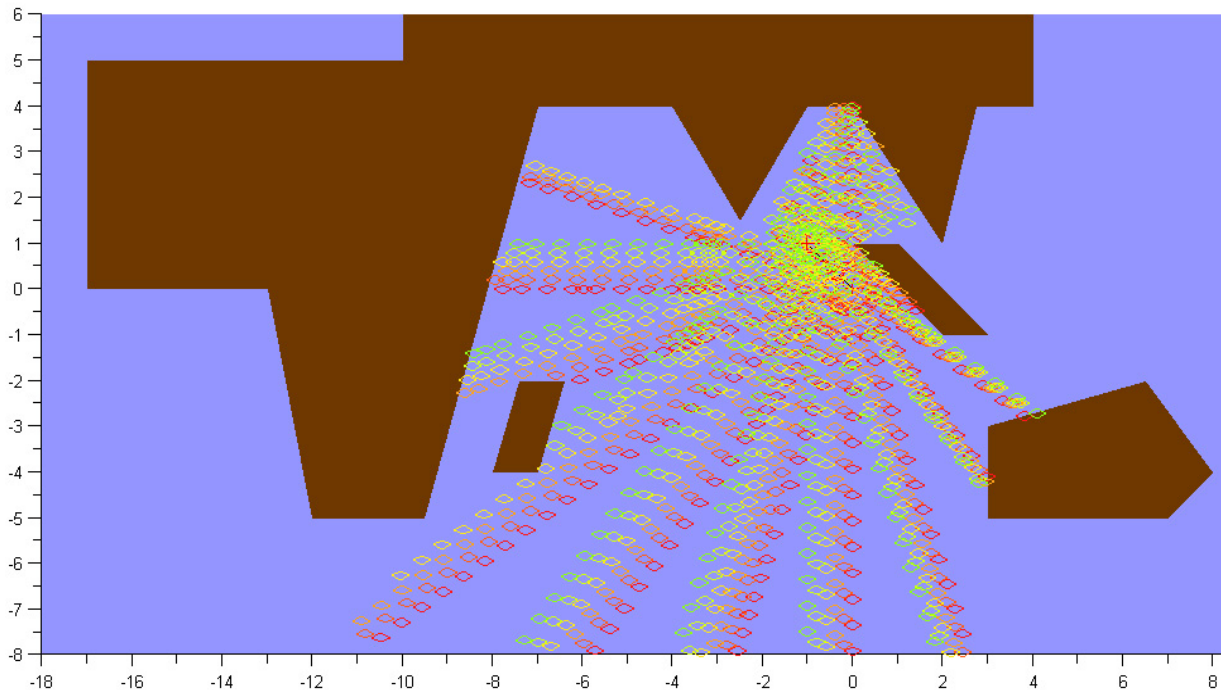
Affichage « points par points »



Résultats :

6 sources	$\theta = \pi/20$	$\Delta t = 1800$ s	Profondeur = $20 * \Delta t$
-----------	-------------------	---------------------	------------------------------

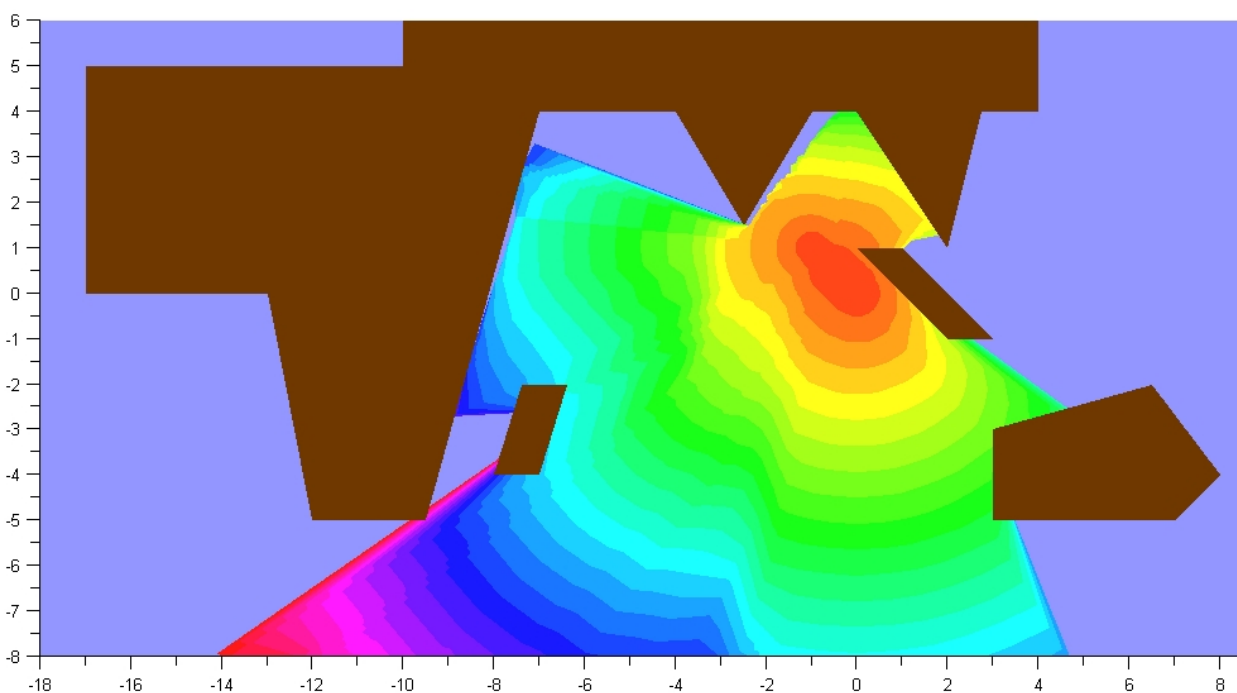
Code : `affiche_discret_m1(x0,y0,x1,y1,6,1800,Pi/20,20,false,Xmin,Xmax,Ymin,Ymax);`



Affichage
« points par
points »

8 sources	$\theta = \pi/30$	$\Delta t = 1800$ s	Profondeur = $30 * \Delta t$
-----------	-------------------	---------------------	------------------------------

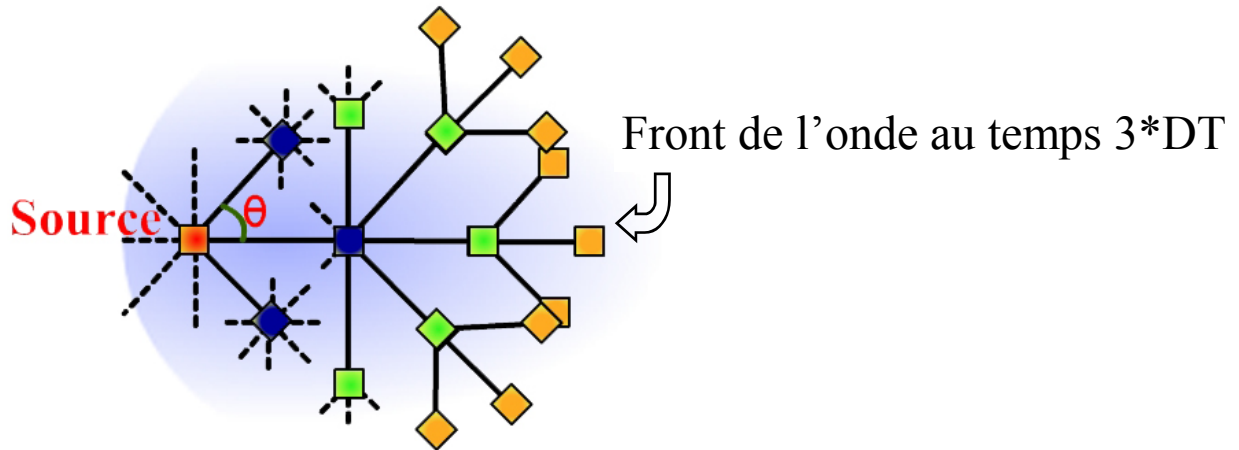
Code : `affiche_polygones_meme_instant_discret_m1(x0,y0,x1,y1,8,1800,Pi/30, 30,Style);`



Affichage
« polygones
de mêmes
instants »

***Problème :** Le tsunami ne fait pas « le tour des îles »

II.3. Modèle selon le principe d'Huygens



Algorithme récursif :

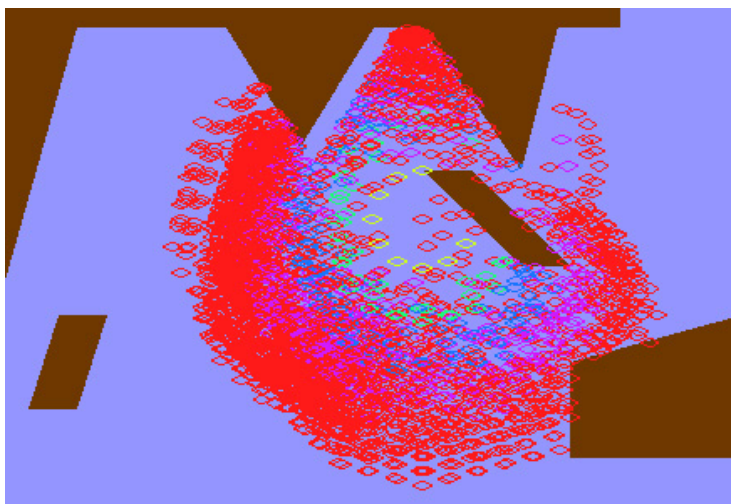
1 source	$\theta = \pi/6$	$\Delta t = 3600 \text{ s}$	Profondeur = $10 * \Delta t$
----------	------------------	-----------------------------	------------------------------

* **Problème** : Coûteux en temps et en espace mémoire
 $12^{10} = 62$ milliards d'appels récursifs !

- ➤ Appliquer des restrictions :
 - Favoriser la direction principale de propagation

Algorithme récursif avec restriction sur la direction:

1 source	$\theta = \pi/6$	$\Delta t = 3600 \text{ s}$	Profondeur = $5 * \Delta t$	$k = 3 \leftrightarrow 50\%$
----------	------------------	-----------------------------	-----------------------------	------------------------------



Code : `modele_2_rec(x0,y0, 3600 , Pi/6, 3 ,1,Xmin,Xmax, Ymin,Ymax);`

Temps de calcul : 5'

Mémoire utilisée : 4Mo

* **Problème** : Coûteux en temps et en espace mémoire

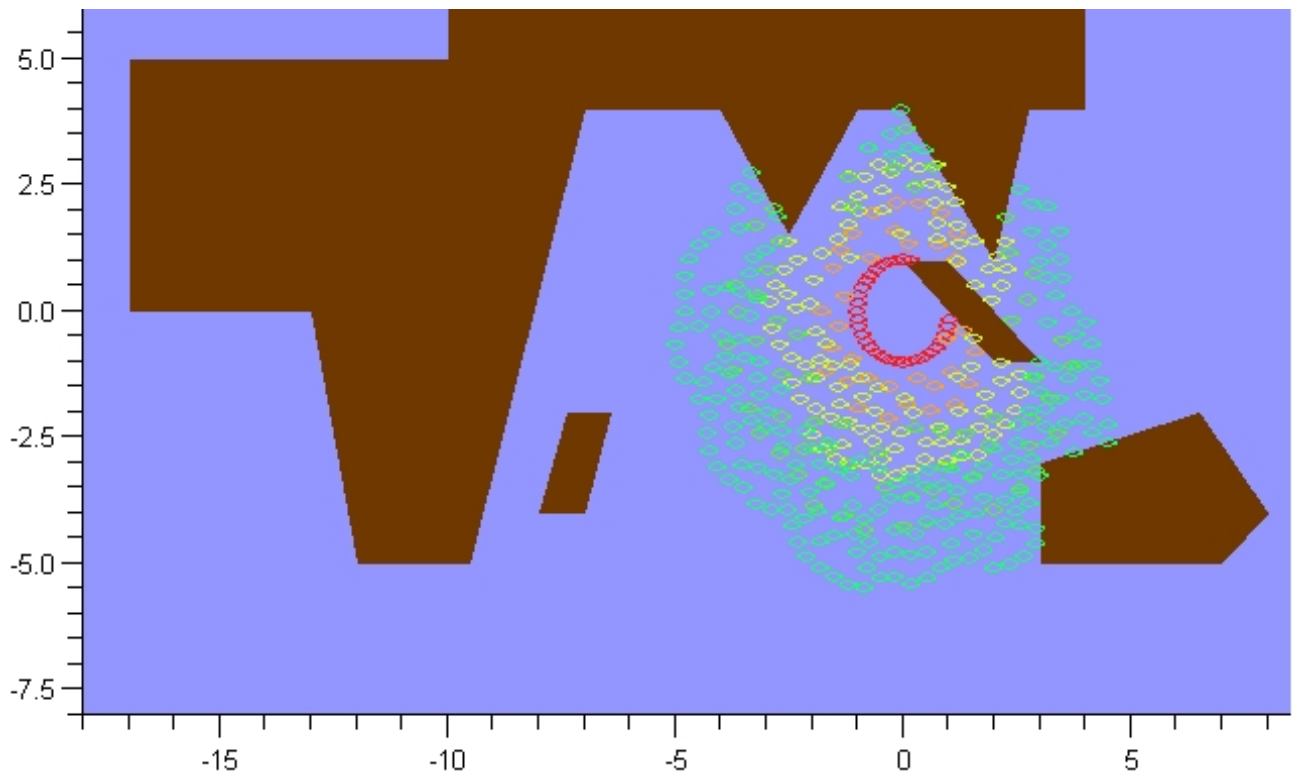
- ➤ Utiliser un algorithme itératif pour :
 - Supprimer les points à moins de ϵ les uns des autres
 - Supprimer les points trop proches de la source

Algorithme itératif avec restrictions :

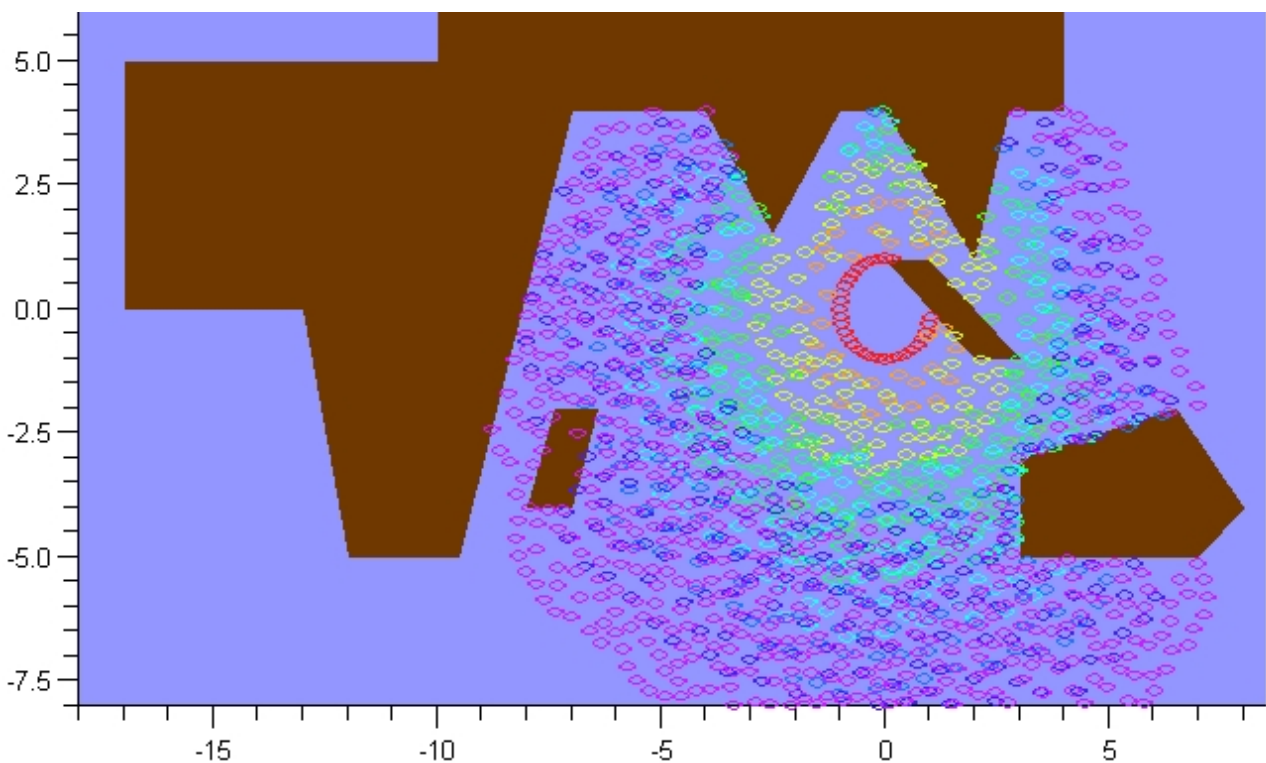
1 source	$\theta = \pi/20$	$\Delta t = 3600$ s	Profondeur = $9 * \Delta t$	$\varepsilon \approx 0.5$	$k \approx 8 \leftrightarrow 25\%$
----------	-------------------	---------------------	-----------------------------	---------------------------	------------------------------------

Code : `modele_2_it(x0,y0,3600, Pi/20 , 5 , 8 ,0.5);`

Après 5 heures :

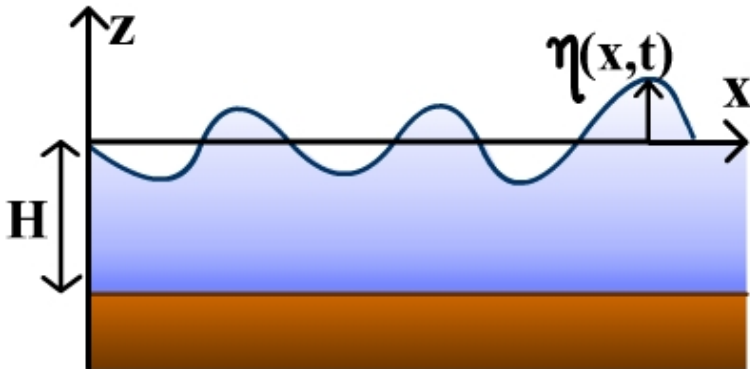


Après 9 heures :



III. Théorie plus élaborée - Eléments finis

III.1. Système d'équation - Korteweg de Vries



Hypothèses

- Fluide parfait
- Ecoulement irrotationnel
- Ecoulement incompressible
- Pression atmosphérique constante
- Champ de pesanteur uniforme
- Les forces exercées à la surface par le vent sont négligées

$$\left\{ \begin{array}{l} \frac{\partial \eta}{\partial t} + u \frac{\partial \eta}{\partial x} + v \frac{\partial \eta}{\partial y} = 0 \\ \frac{\partial u}{\partial t} + u \frac{\partial u}{\partial x} + v \frac{\partial u}{\partial y} + gH \frac{\partial \eta}{\partial x} = 0 \\ \frac{\partial v}{\partial t} + u \frac{\partial v}{\partial x} + v \frac{\partial v}{\partial y} + gH \frac{\partial \eta}{\partial y} = 0 \end{array} \right.$$

Recherche de solutions sous diverses formes -> **Echec**

➤➤ Ce système se résout par la méthode des éléments finis

***Problème** : Cette méthode est complexe en dimension 3

➤➤ Simplification : mouvement unidirectionnel

Equation Korteweg-de-Vries

$$\frac{\partial \eta}{\partial t} + \left(1 + \frac{3}{2} \frac{\alpha}{A_0} \eta\right) \frac{\partial \eta}{\partial x} + \frac{\beta}{6} \frac{\partial^3 \eta}{\partial x^3} = 0$$

où $\alpha = \frac{A_0}{H}$ $\beta = \frac{H^2}{\lambda^2}$

III.2. Méthodes des éléments finis

Modèle de discrétisation retenu :

En temps

$$\frac{\partial \eta}{\partial t}(x, t) \leftrightarrow \frac{\eta_k^{j+1} - \eta_k^j}{\Delta t}$$

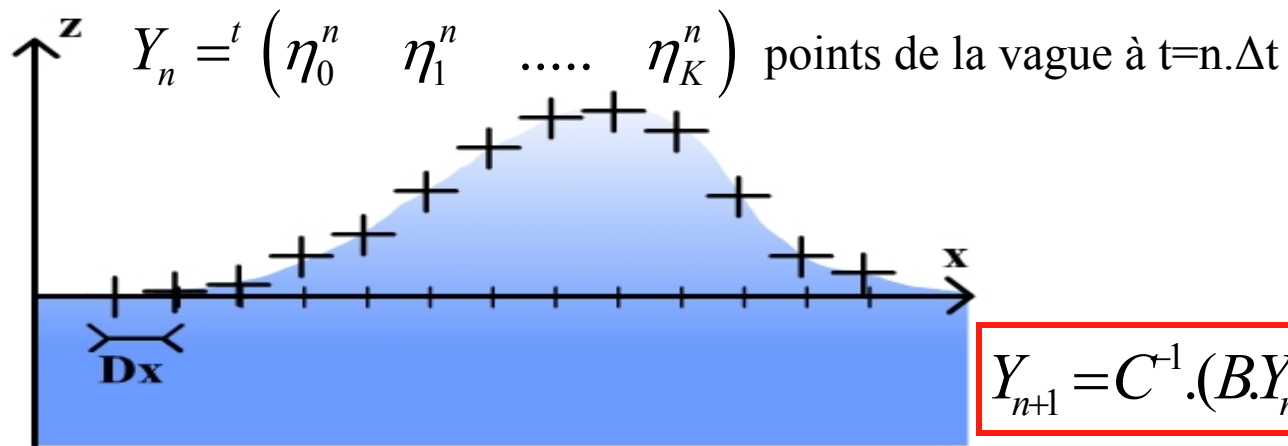
En espace

$$\frac{\partial \eta}{\partial x}(x, t) \leftrightarrow \frac{\eta_{k+1}^j - \eta_k^j}{\Delta x}$$

où

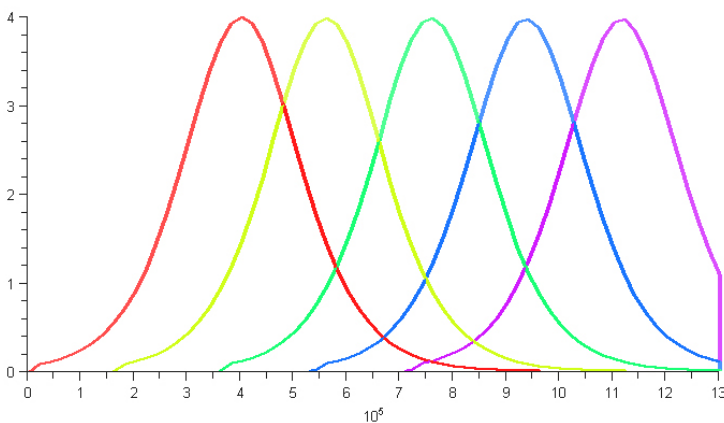
$$\eta_k^j = \eta(k \cdot \Delta x, j \cdot \Delta t)$$

Calcul :



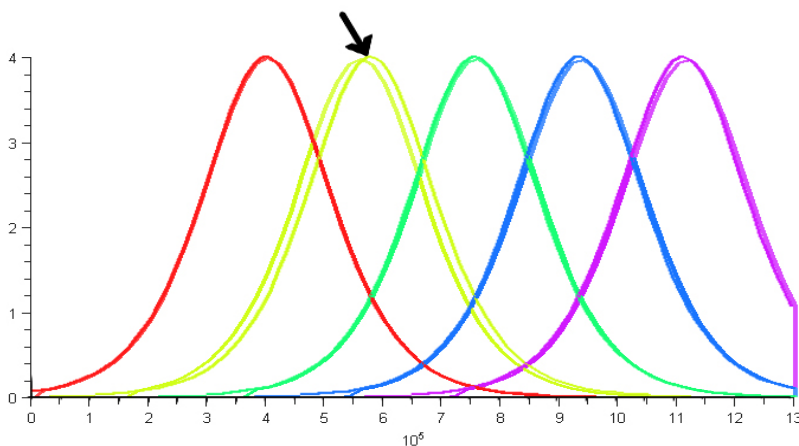
Résultats numériques :

$A_0 = 4\text{m}$	$\lambda = 300\text{km}$	$H = 4\text{km}$	$\Delta x = 20 \text{ km}$	$\Delta t = 100 \text{ s}$
-------------------	--------------------------	------------------	----------------------------	----------------------------



Affichage de l'onde solution toutes les 15', de $t=0$ jusqu'à $t=1 \text{ h}$

Comparaison avec l'onde solitaire (solution exacte)

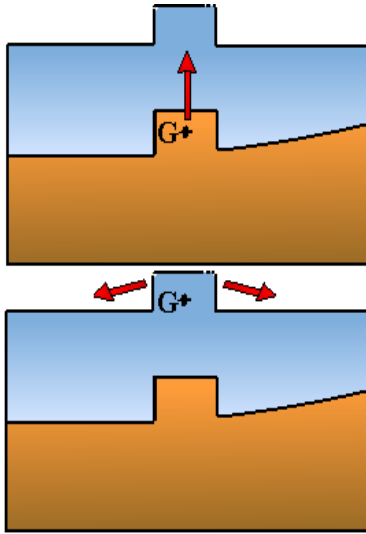


$$\eta(x,t) = \frac{A_0}{ch^2\left(\sqrt{\frac{3A_0}{4H^3}}(x-ct)\right)}$$

- On a bien obtenu une onde similaire à l'onde solitaire
- Il y a des pertes numériques, un phénomène d'atténuation, l'onde obtenue a une plus faible amplitude.

IV. Relation Magnitude/Hauteur initiale grâce à l'Energie

IV.1. Energie disponible



$$W_1 = \rho_{eau} g S \delta h H$$

$$W_2 = \frac{1}{2} \rho_{eau} g S \delta h \left(H - \frac{\delta h}{2} \right)$$

$$E = W_1 - W_2 = \frac{1}{2} \rho_{eau} g S (\delta h)^2$$

Soit $E_T = k \cdot \rho_{eau} \cdot g \cdot \varepsilon^{\frac{2}{3}} \left(\frac{M_0}{\mu} \right)^{\frac{4}{3}}$ avec

$$\left\{ \begin{array}{l} \Delta u : \text{Déplacement de la plaque} \\ M_0 : \text{Moment des forces de contraintes} \\ \varepsilon = \Delta u / L \text{ déformation relative de la plaque} \\ L : \text{Longueur de la faille} \\ \mu : \text{rigidité de la plaque} \end{array} \right.$$

IV.2. Relation Magnitude - Hauteur initiale

Énergie du soliton de hauteur A_0 : $E_S = \rho_{eau} \cdot g \cdot \frac{(A_0 \cdot H)^{3/2}}{\sqrt{3}} l$

Il vient : $A_0 = \left(\frac{k}{l} \right)^{\frac{2}{3}} \cdot \frac{1}{H} \cdot \varepsilon^{\frac{4}{9}} \cdot \left(\frac{M_0}{\mu} \right)^{\frac{8}{9}}$

Or magnitude et moment sismique sont reliés : $M_w = \frac{2}{3} \log(M_0) - 6.0$

➤ Au final :

$$A_0 = \left(\frac{k}{l} \right)^{\frac{2}{3}} \cdot \frac{1}{H} \cdot \varepsilon^{\frac{4}{9}} \cdot \left(\frac{10^{\frac{3}{2}(M_w + 6.0)}}{\mu} \right)^{\frac{8}{9}}$$